ISSN: 2582-4686 SJIF 2021-3.261,SJIF 2022-2.889,
2024-6.875 ResearchBib IF: 9.948 / 2024

THE MULTIDISCIPLINARY JOURNAL OF SCIENCE AND TECHNOLOGY

VOLUME-5, ISSUE-6

МОМЕНТЫ ИНЕРЦИИ, МОМЕНТЫ СОПРОТИВЛЕНИЯ И РАДИУСЫ ИНЕРЦИИ ПЛОСКИХ СЕЧЕНИЙ

Хуррамов Д.Х.

ст. преп. кафедры «Тех.маш.» Алмалыкского филиала ТГТУ им. И. Каримова

Осевым моментом инерции плоского сечения относительно данной оси называется взятая по всей площади сечения сумма произведений площадей элементарных площадок на квадраты их расстояний до этой оси (рис.1.):

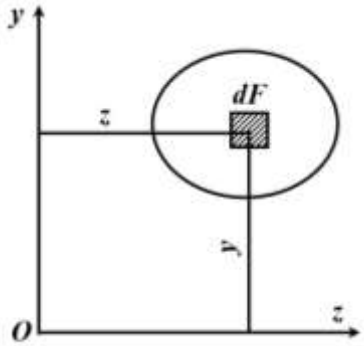


Рис.1.

$$J_z = \int_F y^2\,dF,\ \ м^4(см^4);$$

$$J_y = \int_F z^2\,dF,\ \ м^4\ (см^4).$$

Осевые моменты инерции всегда положительны и не могут быть равны нулю.

Центробежным моментом инерции плоского сечения называется взятая по всей площади сечения сумма произведений площадей элементарных площадок на их расстояния до двух взаимно перпендикулярных осей (рис.1.):

$$J_{zy} = \int_F zy\,dF,\ \ м^4(см^4);$$

Центробежный момент инерции может быть положительным, отрицательным и равным нулю.

Осевые и центробежные моменты инерции плоского сечения относительно осей, параллельных центральным осям, определяют по формулам:

$$J_z = J_{z_c} + a^2F;$$

$$J_y = J_{y_c} + b^2F;$$

$$J_{zy} = J_{z_cy_c} + abF,$$

где:

J_{z_c}, J_{y_c} — осевые моменты инерции относительно центральных осей;

ISSN: 2582-4686 SJIF 2021-3.261,SJIF 2022-2.889,
2024-6.875 ResearchBib IF: 9.948 / 2024

THE MULTIDISCIPLINARY JOURNAL OF SCIENCE AND TECHNOLOGY

VOLUME-5, ISSUE-6

$J_{z_c y_c}$— центробежный момент инерции относительно центральных осей;

a, b — расстояния между выбранными осями и параллельными им центральными осями;

F — площадь сечения.

При повороте осей на угол α моменты инерции определяют по формулам:

$$J_{z_1} = J_z \cos^2\alpha + J_z \sin^2\alpha - J_{zy} \sin 2\alpha;$$

$$J_{y_1} = J_y \cos^2\alpha + J_z \sin^2\alpha - J_{zy} \sin 2\alpha;$$

$$J_{z_1 y_1} = \frac{J_z - J_y}{2} sin2a + J_{zy} \cos 2\alpha.$$

Когда значение угла поворота осей достигнет величины, определяемой формулой:

$\mathrm{tg}2\alpha = \frac{2J_{zy}}{J_y - J_z}$, тогда осевые моменты инерции достигают своего максимума и минимума, а центробежный момент инерции становится равным нулю. Оси, занимающие такое положение называются главными осями инерции, а соответствующие осевые моменты инерции — главными моментами инерции. Главные оси инерции проходящие через центр тяжести сечения, называются главными центральными осями инерции.

Величина главных моментов инерции определяют по формуле:

$$J_{\substack{\max \\ \min}} = \frac{J_z + J_y}{2} \pm \frac{1}{2}\sqrt{(J_z + J_y)^2 + 4{J_{zy}}^2}$$

Осевым моментом сопротивления симметричного сечения называется отношение осевого момента инерции к расстоянию от нейтральной оси до наиболее удаленной точки сечения:

$$W_z = \frac{J_z}{y_{max}}, \quad м^3 (см^3);$$

$$W_y = \frac{J_y}{z_{max}}, \quad м^3 (см^3).$$

Радиусом инерции сечения относительно оси z называется величина определяемая по формуле

$i_z = \sqrt{\frac{J_z}{F}}$, м, (см) аналогично, $i_y = \sqrt{\frac{J_y}{F}}$, м, (см).

Геометрические характеристики прокатных профилей приведены в таблицах ГОСТ. В них горизонтальная и вертикальная центральные оси обозначены как *x* и *y*. При использовании этих таблиц необходимо согласовывать обозначения осей с теми, которые приняты в конкретной задаче.

ЛИТЕРАТУРА

1. Э.Ф. Винокуров. А.Г. Петрович. Л.И. Шевчук. Сопротивлению материалов расчетно-проектировочные работы. Минск “Вышэйшая школа”. 1987. -227стр.
2. Н.М. Атаров, Ю.Д. Насонкин “Примеры решения задач по сопротивлению материалов”. Учебное пособие. Москва 1990. -136 стр.

3. Khasanov B. B. “Determination of the Angular Velocity of the Driving Link at the Moment of Driving Forces”. Spanish Journal of Innovation and Integrity. ISSN: 2792-8268 Volume: 33, Aug-2024. http://sjii.indexedresearch.org

4. Хасанов Б.Б. “РАСЧЕТ СТАТИЧЕСКИ ОПРЕДЕЛИМОЙ СТЕРЖНЕВОЙ СИСТЕМЫ”. ISSN: 2582-4686 SJIF 2021-3.261, SJIF 2022-2.889, 2023-5.384 ResearchBib IF: 8.848 / 2024. Multidisciplinary journal of science and technology, VOLUME-4, ISSUE-12. 4(12), 292–295. https://doi.org/10.5281/zenodo.14501838

5. B.B. Xasanov., “BURALISH DEFORMATSIYASI”. TECHNICAL SCIENCE RESEARCH IN UZBEKISTAN, 1(5), 547–551. Retrieved from. ISSN (E): 2992-9148 ResearchBib Impact Factor: 9.576 / 2023. VOLUME-1, ISSUE-5
https://doi.org/10.5281/zenodo.10448458

6. Khudjaev M. Shakov V. Khasanov B. “Modeling fluid outflow from a channel consisting of a cylindrical section of a constant radius, and an expanding outlet section”. WEB OF SCIENTIST: INTERNATIONAL SCIENTIFIC RESEARCH JOURNAL ISSN: 2776-0979, Volume 3, Issue 4, April., 2022. https://wos.academiascience.org

7. Khasanov B. B. (2025). “TORSION OF RODS. B INTERNATIONAL BULLETIN OF ENGINEERING AND TECHNOLOGY” (Т. 5, Выпуск 5, сс. 222–224). Zenodo. https://doi.org/10.5281/zenodo.15601456

8. Khudjaev M. K. Khasanov B. B. “STATICS OF A TRIANGULAR WEDGE”. International Journal of Mechatronics and Applied Mechanics 2025, Issue 20, Vol. 1. 202–207. https://ijomam.com/issue-20/